

سمت تولید حداقل الیگومرها سوق دهد [12].

پریفولدین¹⁹ یک چپرون مولکولی است که در هر دو نوع سلول آرکیا²⁰ و یوکاریوت‌ها وجود دارد. پریفولدین در سیتوزول²¹ یوکاریوت با پلی‌پپتیدهای²² تازه متولدشده واکنش انجام می‌دهد و آنان را پایدار می‌کند. پریفولدین یوکاریوتی به اکتین‌ها²³، توبولین‌ها²⁴ و احتمالاً دیگر پروتئین‌های تانخورده متصل می‌شود و آن‌ها را به چپرونین²⁵ سیتوزولی شامل TCP-1 (CCT) برای تاخوردن به حالت عادی و طبیعی منتقل می‌کند [13].

پریفولدین آرکیابی یک مجموعه 6 تایی از 2 زیر واحد آلفا (متشکل از 151 آمینواسید) و 4 زیر واحد بتا (متشکل از 117 آمینواسید) است. همان‌طور که در شکل 1 آمده، حفره مرکزی بزرگ به همراه 6 بازوچه مارپیچ به آن ساختاری شبیه به ستاره دریابی داده است. تقریباً زنجیره‌های جانبی قطبی و باردار در معرض حلال هستند. از سویی دیگر، آمینواسیدهای آب‌گریز²⁶ در همان زیر واحد بین دو مارپیچ آلفا شیار آب‌گریز را تشکیل می‌دهند. این شیارهای آب‌گریز مسئول برهم‌کنش با نواحی آب‌گریز پروتئین‌های تانخورده است [14].

با بررسی اثر پریفولدین آرکیابی بر روی توده‌های آمیلوئید بتای 42-1 در محیط آزمایشگاهی، نتایج حاکی از تشکیل الیگومرها محلول آمیلوئید بتا و از بین رفت فیبریل‌های آن در محیط آزمایش بوده است. همچنین نشان داده شده است که این الیگومرها نسبت به فیبریل‌های آمیلوئید سمی‌تر

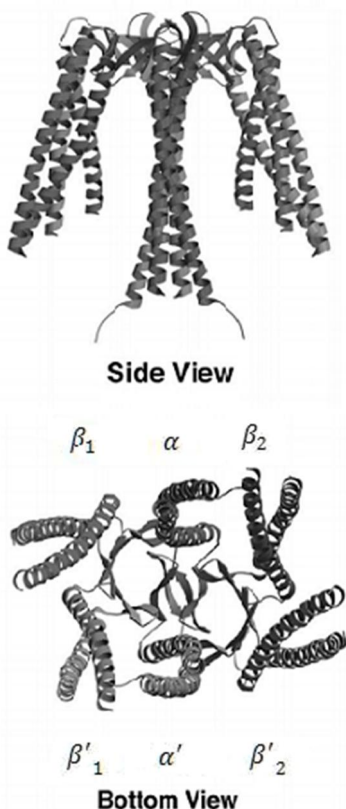


Fig. 1 Crystal structure of archaeal prefoldin [14]

شکل ۱ ساختار کریستالی پریفولدین آرکیابی [14]

¹⁹ Prefoldin (PFD)

²⁰ archaea

²¹ cytosol

²² polypeptide

²³ actin

²⁴ tubulin

²⁵ chaperonin

²⁶ hydrophobic

بتا¹ به شکل پلاک پیری² در خارج از سلول و تشکیل کلافه‌های عصبی³ در داخل سلول توسط پروتئین تائو⁴، شناخته می‌شود. این ساختارها، اثرات زیان‌باری مانند مرگ سلول‌های عصبی و سیناپس‌ها⁵ را دارا بوده که باعث ظهور بیماری آلزایمر می‌شود. پیتید آمیلوئید بتا از تجزیه پروتئین پیش‌ساز آمیلوئید⁶ ایجاد شده و اغلب دارای 43-46 آمینواسید⁷ است [3].

در ابتدا تصور می‌شد که رسوب پلاک‌ها در خارج از سلول، عامل شروع بیماری است [4] ولی امروزه شواهد زیادی حاکی از این است که الیگومرها محلول⁸ نقش اصلی را در از دست دادن سیناپس‌ها و آسیب‌های شناختی بر عهده دارند [5]. اخیراً در تحقیقی آزمایشگاهی مشخص شد که الیگومرها آمیلوئید بتا 42 به خصوص دیمرها⁹ باعث آسیب دیدن حافظه و شکل‌پذیری سیناپس¹⁰ می‌شود، در حالی که چنین اثراتی برای پلاک‌های نامحلول¹¹ یافت نشده است [6].

مکanism سمی بودن الیگومرها به صورت گستردگی چه ثوری و چه آزمایشگاهی مورد بررسی قرار گرفته است که در اینجا به طور خلاصه معرفی می‌شوند: (1) به کار انداختن اثرات فساد آمیز بوسیله برهم‌کنش مستقیم با غشای سلول (2) القاء تنش اکسایشی¹² توسط تشکیل کمپلکس فلز-آمیلوئید بتا (3) از کار انداختن گیرنده‌های غشای توسعه اتصال به آن‌ها (4) ایجاد روزنه و سوراخ در غشای (5) تغییر ساختار DNA خاص بوسیله فرآیند الصاق [3].

چپرون‌های مولکولی¹³ معرف یک گروه متمایز از پروتئین‌ها هستند که پروتئین‌های تانخورده¹⁴ را شناسایی و محصر کرده و از تاخوردن اشتباه¹⁵ و انباشته شدن آن‌ها جلوگیری می‌کنند و همچنین کمکی برای گذار پروتئین‌ها به یک ساختار طبیعی هستند [7]. توانایی چپرون‌های مولکولی در جلوگیری از تاخوردن نادرست و دوباره تازden پروتئین‌هایی که ساختار طبیعی خود را از دست داده اند باعث شده تا آنان دارای نقشی کلیدی در مطالعه بیماری‌هایی باشند که درنتیجه تاخوردن نادرست پروتئین‌ها ایجاد می‌شوند و یک عامل درمانی بالقوه به حساب آیند [9,8].

در تحقیقات متعددی به نقش چپرون‌های مولکولی در بیماری آلزایمر پرداخته شده است. پژوهشی بر روی پروتئین شوک حرارتی کوچک¹⁶ α - β -کریستالین¹⁷ نشان داد که این چپرون می‌تواند فرآیند فیبریل شدن را متوقف کرده و اثرات سمی آن‌ها را تقلیل دهد [10]. گزارش شده است پروتئین شوک حرارتی Hsp27 در مغز مبتلایان به آلزایمر افزایش می‌باید و این پروتئین می‌تواند سلول‌های عصبی غشایی را در مقابل اثرات سمی آمیلوئید بتا محافظت کند [11]. هنگامی که فیبریل‌های آمیلوئید بتا تشکیل شوند، سطوح آن‌ها تشکیل الیگومرها سمی را تسهیل می‌کند. بررسی اثر یک چپرون مولکولی (بریچوز)¹⁸ نشان داد که این چپرون می‌تواند از اثر تسهیل کنندگی تولید الیگومر جلوگیری کرده و سمی بودن آمیلوئید بتا 42 را محدود سازد. این چپرون با اتصال به سطح فیبریل می‌تواند مسیر تجمع را به

¹ amyloid β

² senile plaque

³ neurofibrillary tangle

⁴ tau

⁵ synapses

⁶ amyloid precursor protein

⁷ amino acid

⁸ soluble oligomer

⁹ dimer

¹⁰ Synaptic plasticity

¹¹ insoluble plaque

¹² oxidative stress

¹³ Molecular chaperones

¹⁴ unfolded protein

¹⁵ misfolding

¹⁶ heat shock protein

¹⁷ crystallin

¹⁸ Brichos

سیستم با اضافه کردن 2 یون سدیم خنثی‌سازی شده و در یک جمعه آب دوازده و جهی $TIP3P^{14}$ با فاصله 1 nm از دیواره آن قرار داده شد.

جدول 1 مشخصات آمینو اسیدهای دیمر آمیلوئید بتا از نظر بار و آب‌گریزی

Table 1 Properties of Amino acids of amyloid beta1-42's dimer in terms of charge and hydrophobicity scales

آمینو اسید	بار	میزان آب‌گریزی از 100 ^(*)
Leu	خنثی	97
Val	خنثی	76
Phe	خنثی	100
Ala	خنثی	41
Glu	منفی	-31
Asp	منفی	-55
Val	خنثی	76
Gly	خنثی	0
Ser	خنثی	-5
Asn	خنثی	-28
Lys	منبیت	-23
Met	خنثی	74

(*) هرچه عدد بزرگتر و منبیت باشد، میزان آب‌گریز بودن آمینو اسید مربوطه بیشتر است.

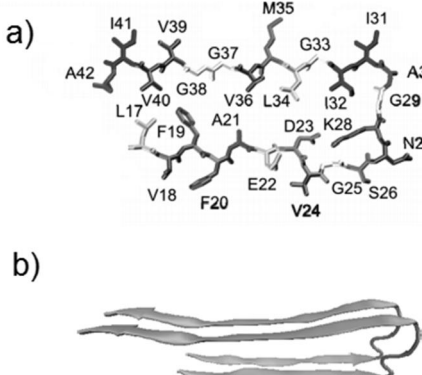


Fig. 2 (a) Amino acid chain for a strand amyloid beta fibril (b) dimeric cargo has U shape structure and parallel and in-register beta sheets

شکل 2 (a) زنجیره آمینواسید مربوط به یک رشته از فیبریل آمیلوئید بتا [19] (b) زنجیره آمینواسید مربوط به یک رشته از فیبریل آمیلوئید بتا [19]

محموله دیمر، دارای پیکربندی U شکل و صفحات بتا مواری و هم راستا

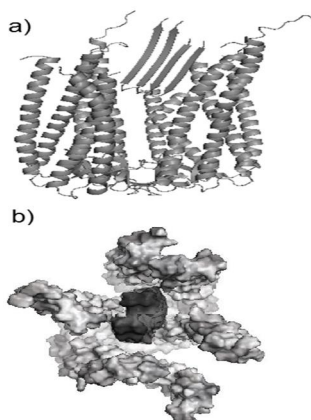


Fig. 3 (a) Dimeric pathogenic nano cargo in the Prefoldin nano actuator's cavity (b) electrostatic potential surface for initial complex

شکل 3 (a) نانو محوله دیمر بیماری‌زا در دهانه نانو عملکر پریفولیدینی (b) سطوح پتانسیل الکترواستاتیک برای نمایش واقعی تر مجموعه

¹⁴ dodecahedron

هستند و قابلیت فراهم کردن بروسه مرگ سلول را دارا می‌باشند. دلیل ایجاد الیگومرهای محلول، گرفتن و رها کردن آن‌ها توسط پریفولیدین عنوان شده است [15]. در یک شبیه‌سازی دینامیک مولکولی مشخص شد که بازوهای پریفولیدین آرکیابی، انعطاف‌پذیری بالایی برای واکنش با محموله‌های مختلف دارد. هر دو پارامتر دما و pH محیط روی ساختار کلی آن اثرگذار بوده و دهانه پریفولیدین که معیاری برای اندازه نانو محوله قابل حمل توسعه آن است را دچار تغییر قابل توجه می‌کند. این تغییرات شامل باز و بسته شدن دهانه می‌باشد. در این پژوهش مفهوم نانو عملکر پریفولیدینی به عنوان یک بیو نانو عملکر¹ جدید ارائه شد [16].

هدف از پژوهش حاضر بررسی اثر نانو عملکر پریفولیدینی بر روی دیمر آمیلوئید بتا 42 و نحوه گرفتن این عامل بیماری‌زا توسط پریفولیدین است. بدین منظور شبیه‌سازی دینامیک مولکولی تمام اتم² در محیط حلال صریح³ در دمای فیزیولوژیک بدن انجام شد.

2- مواد و روش‌ها

ساختار الیگومرهای آمیلوئید بتا ناپایدار و گذرا هستند [17]. به همین دلیل بسیار مشکل است تا بوسیله روش‌های بلورشناسی پرتو ایکس⁴ و طیفسنجی NMR⁵، مدل اتمی آن‌ها استخراج شود. در عوض ساختارهای متعددی برای فیبریل‌های آمیلوئید بتا همانند ساختار فیبریل 5تایی⁶ آمیلوئید بتا 42-17 پیشنهاد شده است [18]. تحقیقات ثابت کرده است که الیگومرها در ساختار ثانویه غالباً دارای صفحات بتا هستند [19] و بنابراین ساختار فیبریل 5 تایی آمیلوئید بتا 42-17 در تألفات به عنوان الیگومر نیز استفاده می‌شود [20]. همچنین نوع آمینواسیدهای محوله از نظر بار و آب‌گریز بودن در pH خنثی نیز در جدول 1 آمده است. دلیل انتخاب دیمر آمیلوئید بتا به عنوان محوله هدف این است که هرچه مرتبه اولیگومر افزایش می‌یابد علی‌رغم افزایش سمی بودن، در مدت زمان کمتری به شکل فیبریل‌های بالغ تبدیل می‌شوند که باعث کاهش اثرات سمی شده [6] و لی نوع دیمر با توجه به تغییرات ساختاری بسیار زیادی که دارد مدت زمان بیشتری به عنوان اولیگومر فعلیت می‌کند و این ماندگاری بالا می‌تواند توضیحی برای اثرات بالای سمی بودن آنها برای سینپاپس‌ها باشد [21].

نانو محوله دیمر به عنوان هدف در این شبیه‌سازی، ساختار فیبریل اولیه⁷ آمیلوئید بتا 42-17 با کد 2BEG در پایگاه اطلاعاتی پروتئین⁸، انتخاب و سپس با استفاده از نرم‌افزار پایمول⁹ ساختار دیمر مورد نظر ایجاد شد (شکل 2). ساختار اولیه پریفولیدین آرکیابی نیز با کد 2ZDI در پایگاه اطلاعاتی پروتئین انتخاب گردید [14]. برای آماده‌سازی اولیه پریفولیدین یعنی بدست آوردن بخش‌های متقابران و تکمیل بخش‌های نامشخص، از نرم‌افزارهای دیپویو¹⁰ و پایمول و برای شبیه‌سازی دینامیک مولکولی از نرم‌افزار گرومکس¹¹ با میدان نیروی OPLS-AA¹² استفاده شده است. باید محوله در دهانه پریفولیدین قرار داده شود که بدین منظور ابزارهای بیوانفورماتیک¹³ نرم‌افزار متلب بکار برده شد (شکل 3).

¹ Bio Nano Actuator

² All-atom

³ explicit solvent

⁴ X-ray crystallography

⁵ Solid-state nuclear magnetic resonance

⁶ pentamer

⁷ protofibril

⁸ protein data bank

⁹ Pymol

¹⁰ Deep View

¹¹ GROMACS

¹² force field

¹³ Bioinformatics Toolbox

نانومحموله پیوند برقرار کند و آن را در بر بگیرد بازوی H است. همچنین در این شکل واضح است که بازوی C نتوانسته در یک فاصله ثابت نسبت به محموله قرار گیرد که این مطلب در مورد بازوهای A و E نیز صادق می‌باشد. این مشاهدات نشان می‌دهد بازوهای نانو عملکر پریفولیدینی دارای تغییرات موقعیتی قابل توجهی بوده است.

برای اینکه دقیق‌تر مشخص شود نانو عملکر پریفولیدینی تا چه میزان توانسته با نانومحموله پیوند برقرار کند، تعداد پیوندهای هیدروژنی برقرار شده بین این دو به صورت تابعی از مدت زمان شبیه‌سازی در شکل 6 مورد بررسی قرار داده شده است. بر این اساس پریفولیدین و محموله در ابتدا دارای هیچ پیوندی نبودند و اولین پیوندها تقریباً در 1.5 ns ابتدایی و مطابق با نتایج حاصله از بررسی فواصل اتمی این پیوندها به هنگام نزدیک شدن دو بازو به محموله اتفاق افتاده و البته تعداد آن‌ها در طول مدت شبیه‌سازی دارای نوسان است و به پایداری نرسیده است. با توجه به عدم پایداری پیوندهای هیدروژنی عامل دیگر نیز باید در جذب نانومحموله و همچنین پایدار ماندن تماس بین آن و پریفولیدین مؤثر باشد.

اثرات آب‌گریزی⁸ معرف جاذبه مشاهده شده بین ذرات غیرقطبی⁹ به منظور تجمع آن‌ها در محیط‌های آبی برای داشتن کمترین سطح تماس با مولکول‌های آب است. با توجه به اینکه زنجیره جانبی در محموله بیماری‌زا غالباً آب‌گریز است [18] و همچنین به دلیل حضور آمینواسیدهای آب‌گریز در نانو عملکر [14]. اثرات آب‌گریزی بین محموله و عملکر مورد بررسی قرار گرفت. بدین منظور تعداد تماس‌ها بین آمینواسیدهای آب‌گریز از نانومحموله و پریفولیدین یعنی یک اتم از محموله بیماری‌زا و یک اتم از نانو عملکر در فاصله کمتر از 0.6 nm بررسی شد که نتایج حاصل از آن در شکل 7 آمده است. همان‌طور که قابل مشاهده است در اینجا نیز در ابتدای هیچ تماسی بین مولکول‌های نانومحموله و پریفولیدین نبوده و تعداد تماس‌ها تا 5 ns ابتدایی در حال نوسان است ولی در بقیه مدت زمان شبیه‌سازی به حالت تقریباً پایدار می‌رسد که می‌توان نتیجه گرفت اثرات آب‌گریزی با توجه به اینکه زنجیره جانبی در نانومحموله غالباً آب‌گریز است، نقش مهمی را در جذب محموله توسط پریفولیدین و همچنین پایدار ماندن تماس بین این دو ایفا می‌کند.

مشاهده شده است که دیمرهای آمیلوبئید بتا دارای تغییرات بسیار زیادی در پیکربندی هستند و نسبت به الیکومرهای دیگر، مدت زمان بیشتری لازم است تا با فیبریل‌ها ترکیب شوند. همین ماندگاری بالای آن‌ها می‌تواند به عنوان توضیحی برای اثرات بالای سمی بودن آن‌ها برای سیناپس‌ها باشد [21]. یکی از دلایل عدم اتصال دیگر بازوها می‌تواند همین تغییرات زیاد در پیکربندی محموله بیماری‌زا باشد که در شکل 8 آمده است.

از شکل 8 که تغییرات در پیکربندی نانومحموله را در زمان‌های مختلف نمایش می‌دهد می‌توان دریافت که ساختار U شکل اولیه که در شکل 2 نمایش داده شد در همان 3 ns ابتدایی شبیه‌سازی به کلی تغییر کرده که این تغییرات باعث می‌شود تا آمینواسیدهای باردار، قطبی و آب‌گریز در محموله نسبت به بازوهای پریفولیدین در زمان‌های مختلف به نحوی قرار گیرند تا با ایجاد اثرات منفی مانند دافعه الکترواستاتیکی، مانع از اتصال تمام بازوهای پریفولیدین به محموله بیماری‌زا شود که این نتیجه سازگار با یافته‌های تجربی است که بر اساس آن در حضور پریفولیدین آرکیابی میزان تولید الیکومرهای سمی افزایش یافته که یکی از دلایل این موضوع گرفتن و رها کردن آن‌ها

⁸ hydrophobic effect
⁹ nonpolar

مینیمم‌سازی انرژی در 1536 گام و با الگوریتم بیشترین نزول¹ انجام گرفت تا تماس‌های نامناسب بین اتم‌ها، حذف شود. برای رسیدن سیستم به حالت تعادل، در دو مرحله، شبیه‌سازی با قیود موقعیت برای اتم‌های سنگین انجام گرفت. مرحله اول شامل ps 100 شبیه‌سازی تحت شرایط NVT (حجم ثابت) بود. اتم‌های پروتئین و غیر پروتئین تحت کوپل حرارتی جداگانه قرار گرفتند و دما توسط الگوریتم V-Rاسکیل² ثابت نگهداشتند. بعد از NVT، سیستم به مدت 100 ps 100 دیگر تحت شرایط NPT (فشار ثابت) با کوپل پرینلو-رحمان³ برای ثابت نگهداشت فشار در bar 1 معادل شد. شبیه‌سازی دینامیک مولکولی به مدت 12 ns 12 انجام گرفت. در حین برهمکنش‌های الگوریتم لینکس⁴ برای مقید کردن تمام پیوندها، روش PME⁵ برای برهمکنش‌های الکترواستاتیک دوربرد، شاعع قطع 1 nm برای برهمکنش‌های کوتاه برد الکترواستاتیکی و واندروالس، گام زمانی fs 2 و شرایط مزی پریودیک⁶ اتخاذ شد. دما نیز بوسیله کوپل جداگانه سیال و پروتئین با ترمومترات V-Rاسکیل و فشار هم با تنظیم کننده فشار پرینلو-رحمان در 1 bar ثابت نگهداشت شده است. برای تصویر کردن ساختارهای اولیه و نتایج حاصل از شبیه‌سازی دینامیک مولکولی از نرم‌افزارهای پایمول و VMD⁷ استفاده شده است.

3- نتایج

برای بررسی عملکرد نانو عملکر پریفولیدینی و مشاهده برهم‌کنش آن با نانومحموله بیماری‌زا از شبیه‌سازی دینامیک مولکولی استفاده شد. شکل 4 نتایج حاصل را نشان می‌دهد که بیان‌گر تغییرات پیکربندی نانو عملکر پریفولیدینی به دلیل برهم‌کنش با محموله بیماری‌زا نسبت به موقعیت اولیه می‌باشد. همان‌طور که در شکل 4 قابل مشاهده است بعد از 2 ns پریفولیدین توانسته با دو بازوی خود محموله را در بر بگیرد. در بقیه زمان‌های شبیه‌سازی دیگر بازوها قادر به گرفتن محموله نبودند و فقط توانستند نزدیک و سپس دور شوند. آشکار است که ساختار کلی نانو عملکر پریفولیدینی حفظ شده و تنها شکل و اندازه حفره مرکزی برای گرفتن نانومحموله تغییر کرده است. این نتایج نشان‌دهنده تغییرات شدید بازوهای مارپیچ است، به عبارتی نانو عملکر پریفولیدینی دارای انعطاف‌پذیری بالایی برای گرفتن نانومحموله می‌باشد.

محاسبه فاصله اتمی بین یک اتم یا یک آمینواسید منتخب از نانومحموله با یک اتم یا یک آمینواسید منتخب از بازوهای نانو عملکر راه دیگری برای مشاهده دقیق‌تر گرفته شدن نانومحموله توسط نانو عملکر است. به عبارتی امکان صحنه‌گذاری نتایج گرافیکی بدست آمده از شبیه‌سازی‌های دینامیکی را فراهم می‌آورد. فواصل بین اتم‌های بازوهای نانو عملکر پریفولیدینی و نانومحموله در شکل 5 رسم شده است. زنجیره‌های B، C، E، G و H مربوط به نانو عملکر و F، D مشخص است که بازوی G در ns 2 به محموله نزدیک شده و تقریباً در ادامه نیز در همان فاصله نسبت به محموله باقی مانده است ولی بازوی B در طول مدت شبیه‌سازی نسبت به محموله دارای نوسان بوده و توانسته آن را بگیرد. در شکل 5- ب نیز می‌توان دریافت که دومین بازویی که توانسته با

¹ steepest descent

² V-rescale

³ Parrinello-Rahman

⁴ LINCS

⁵ Particle mesh Ewald

⁶ Periodic boundary condition

⁷ Visual Molecular Dynamics

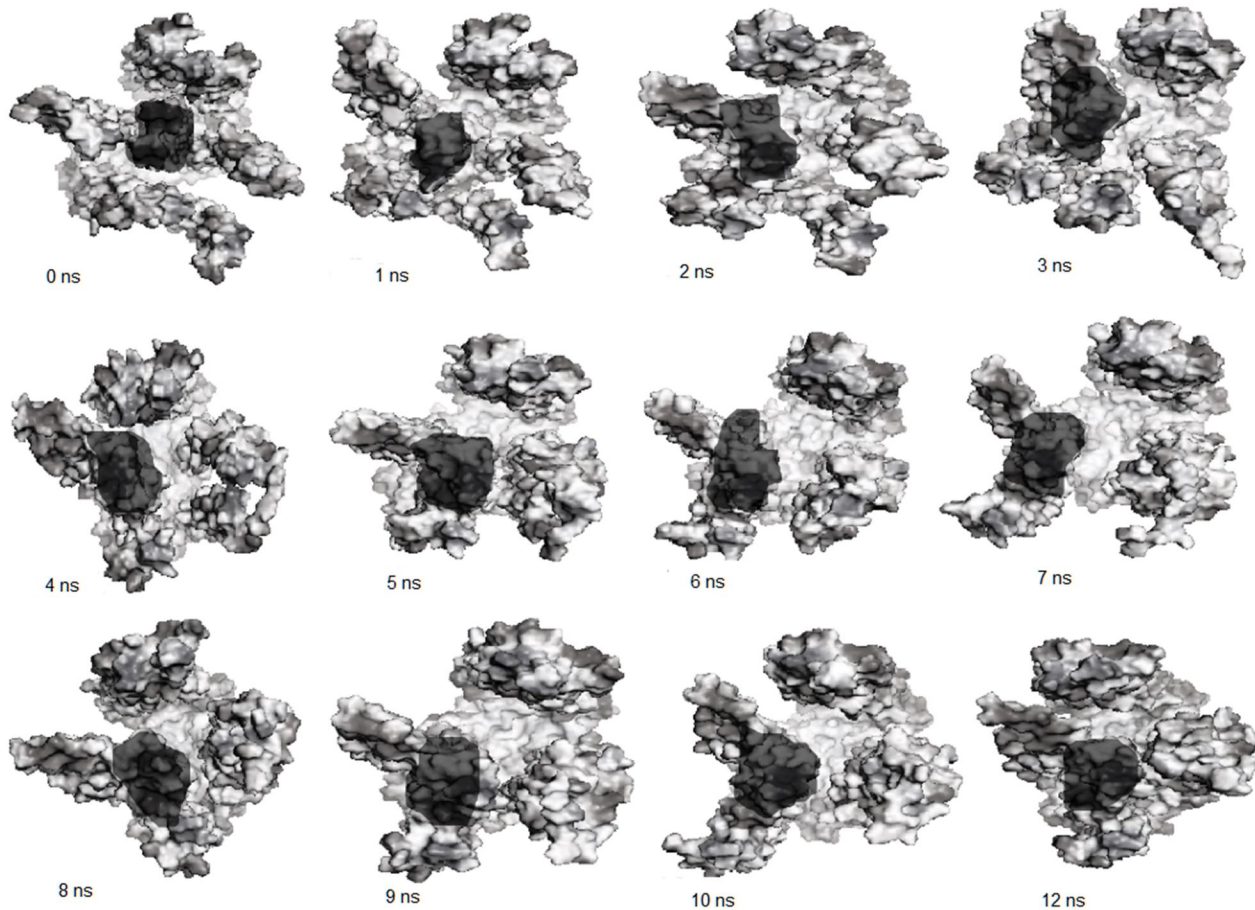


Fig. 4 Conformational changes in prefoldin nano actuator in the presence of pathogenetic cargo in the various time of simulation, the cargo marked as dark color for better recognition.

شکل ۴ تغییرات پیکربندی نانو عملکر پریفولدینی در حضور محموله بیماری‌زا در مراحل و زمان‌های مختلف شبیه‌سازی و نحوه گرفتن محموله توسط آن، محموله برای تشخیص بهتر با رنگ مشکی مشخص شده است.

اتصال دیگر بازوها می‌تواند همین تغییرات باشد زیرا باعث می‌شود تا آمینواسیدهای باردار، قطبی و آب‌گریز در محموله نسبت به بازوهای پریفولدین در زمان‌های مختلف به نحوی قرار گیرند تا با ایجاد اثرات منفی مانند دافعه الکترواستاتیکی مانع از اتصال تمام بازوهای پریفولدین به محموله بیماری‌زا شود.

- بررسی تعداد پیوندهای هیدروژنی برقرارشده بین نانو عملکر و محموله بیماری‌زا نشان داد که این دو در ابتدا دارای هیچ پیوندی نبوده و سپس با نزدیک شدن دو بازو در ۱.۵ ns ایتدابی اولین پیوندها بین آن‌ها شکل گرفته است ولی تعداد پیوندها در طول مدت شبیه‌سازی به مقداری پایداری نرسیده است.

- با توجه به حضور آمینواسیدهای آب‌گریز در نانو محموله و نانو عملکر و بررسی اثرات آب‌گریزی بین محموله و عملکر این نتیجه حاصل شد که اثرات آب‌گریزی نقش مهمی را در جذب محموله توسط پریفولدین و همچنین پایدار ماندن تماس بین این دو ایفا می‌کند.

- با توجه به نتایج حاصل از این پژوهش می‌توان دریافت که نانو عملکر پریفولدینی با توجه به قابلیت‌ها و ویژگی‌های خود می‌تواند تاحدی محموله بیماری‌زا دیمر را مهار کند.

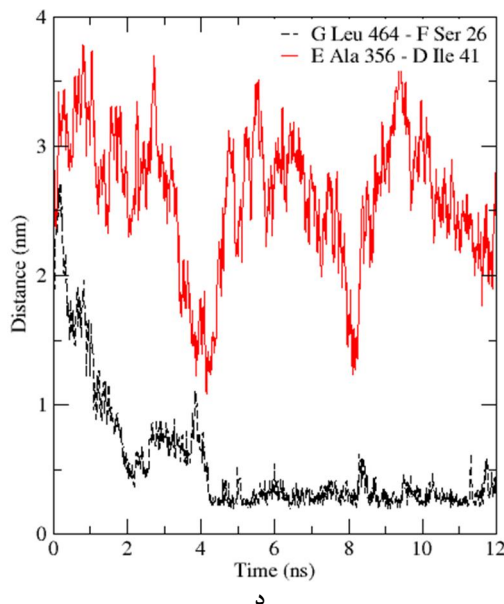
به منظور افزایش قدرت مهار، نانو عملکر پریفولدینی نیاز به ویژگی‌های جدیدی دارد تا بتواند در مدت زمان کمتر و همچنین با تعداد بازوها

توسط پریفولدین آرکیابی عنوان شده است [15].

4- نتیجه‌گیری

در این مقاله نحوه تعامل نانو عملکر پریفولدینی و محموله بیماری‌زا مربوط به آرایم مورد بررسی قرار گرفت. با توجه به نقش الیگومرها در پیشروی بیماری آرایم و از دستدادن سیناپس‌ها و آسیب‌های شناختی، الیگومرها به عنوان عامل بیماری‌زا در نظر گرفته شد. چپون‌های مولکولی به دلیل کاربرد آن‌ها در شناسایی پروتئین‌های تانخورده و جلوگیری از اشتباہ تانخوردن و انباشته شدن آن‌ها مورد توجه هستند و به عنوان عامل درمانی بالقوه برای بیماری‌هایی که معلوم درست تانخوردن پروتئین‌ها هستند شناخته می‌شوند. در این پژوهش پریفولدین آرکیابی که قبل از نانو عملکر معرفی شده است [16]، به منظور عملی مهارکننده برای الیگومر نوع دیمر انتخاب شد. بعد از انجام شبیه‌سازی دینامیک مولکولی تمام اتم در محیط حلال صریح در دمای فیزیولوژیک و بررسی نتایج مربوط به فواصل اتمی نتایج زیر بدست آمد:

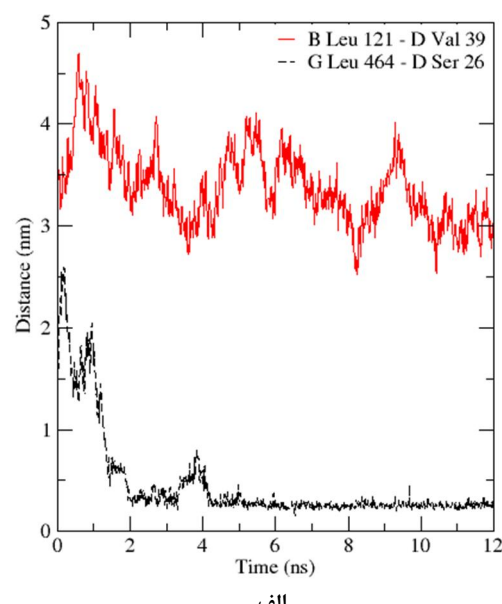
- دو بازو از شش بازوی نانو عملکر پریفولدینی توانایی اتصال به محموله بیماری‌زا دیمر را داشته و بقیه بازوها در طول مدت زمان شبیه‌سازی قادر به اتصال نبودند و تنها دور و نزدیک شدند.
- با توجه به تغییر پیکربندی شدید محموله بیماری‌زا در طول مدت شبیه‌سازی و اثبات این موضوع در شکل ۸، دلیل عدم



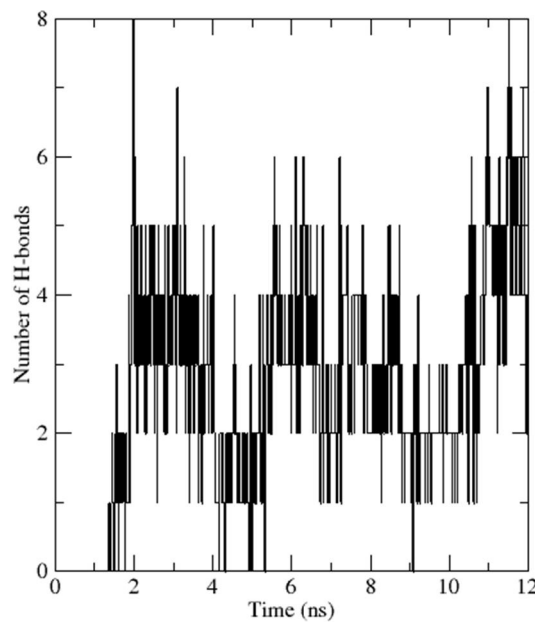
۵

Fig. 5 Atomic distance between prefoldin nano actuator and pathogenetic nano cargo in the 12 ns MD simulation

شکل ۵ فاصله اتمی بین بازوهای نانو عملگر پریفولیدینی و نانومحموله بیماری‌زا در طول مدت 12 ns شبیه‌سازی دینامیک مولکولی



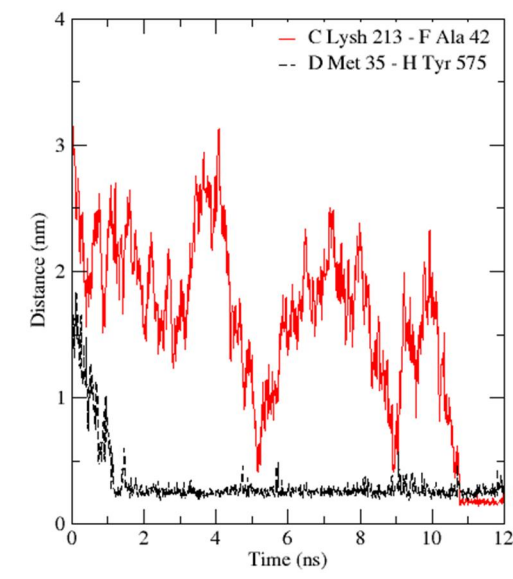
الف



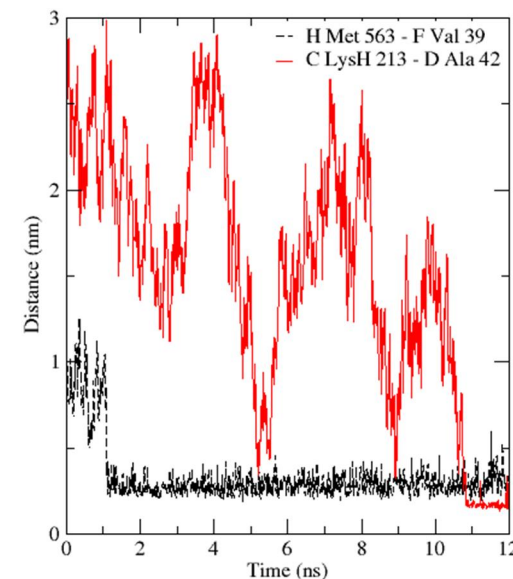
Time (ns)

Fig. 6 The number of H-bonds between nano cargo and nano actuator as function of simulation time

شکل ۶ تعداد پیوندهای هیدروژنی برقرار شده بین نانومحموله و نانو عملگر به صورت تابعی از زمان شبیه‌سازی



ب



ج

بیشتری محموله بیماری‌زا را به دام انداخته و از فعالیت آن جلوگیری به عمل آورد. به همین منظور لازم است بررسی‌های بیشتری صورت پذیرد و با افزودن قابلیت‌های جدید به نانو عملگر پریفولیدینی آن را برای مهار کردن الیگومرهای آمیلوئید بتا بهینه‌سازی کرد. به عنوان مثال پیشنهاد می‌شود که برای بهبود رفتار بازوها در نانو عملگر پریفولیدینی جهش ایجاد شود. یعنی با جایگزین کردن آمینواسیدهای آب‌گزیر به جای آب دوست باعث ایجاد برهم‌کنش و جاذبه هیدروفوبیک بین محموله و نانو عملگر شد که این موضوع می‌تواند به اتصال دیگر بازوها کمک کند.

- microscopy for nanomechanical characterization of early and late-stage amyloid- β peptide aggregation, *Scientific Reports*, Vol. 4, No. 1, pp. 1-7, 2014.
- [3] L. N. Zhao, H. W. Long, Y. Mu, L. Y. Chew, The toxicity of amyloid β oligomers, *International Journal of Molecular Sciences*, Vol. 13, No. 12, pp. 7303-7327, 2012.
- [4] D. J. Selkoe, The molecular pathology of Alzheimer's disease, *Neuron*, Vol. 6, No. 4, pp. 487-498, 1991.
- [5] G. M. Shankar, S. Li, T. H. Mehta, A. Garcia-Munoz, N. E. Shepardson, I. Smith, F. M. Brett, M. A. Farrell, M. J. Rowan, C. A. Lemere, C. M. Regan, D. M. Walsh, B. L. Sabatini, D. J. Selkoe, Amyloid- β protein dimers isolated directly from Alzheimer's brains impair synaptic plasticity and memory, *Nature Medicine*, Vol. 14, No. 8, pp. 837-842, 2008.
- [6] K. Ono, M. M. Condron, D. B. Teplow, Structure-neurotoxicity relationships of amyloid -protein oligomers, *Proceedings of the National Academy of Sciences*, Vol. 106, No. 35, pp. 14745-14750, 2009.
- [7] B. Bukau, J. Weissman, A. Horwich, Molecular chaperones and protein quality control, *Cell*, Vol. 125, No. 3, pp. 443-451, 2006.
- [8] Y. O. Ali, B. M. Kitay, R. G. Zhai, Dealing with misfolded proteins: examining the neuroprotective role of molecular chaperones in neurodegeneration, *Molecules*, Vol. 15, No. 10, pp. 6859-6887, 2010.
- [9] P. J. Muchowski, J. L. Wacker, Modulation of neurodegeneration by molecular chaperones, *Nature Reviews Neuroscience*, Vol. 6, No. 1, pp. 11-22, 2005.
- [10] F. C. Dehle, H. Ecroyd, I. F. Musgrave, J. A. Carver, $\alpha\beta$ -Crystallin inhibits the cell toxicity associated with amyloid fibril formation by κ -casein and the amyloid- β peptide, *Cell Stress Chaperones*, Vol. 15, No. 6, pp. 1013-1026, 2010.
- [11] M. King, F. Nafar, J. Clarke, K. Mearow, The small heat shock protein Hsp27 protects cortical neurons against the toxic effects of β -amyloid peptide, *Journal of Neuroscience Research*, Vol. 87, No. 14, pp. 3161-3175, 2009.
- [12] S. I. A. Cohen, P. Arosio, J. Presto, F. R. Kurudenkandy, H. Biverstal, L. Dolfe, C. Dunning, X. Yang, B. Frohm, M. Vendruscolo, J. Johansson, C. M. Dobson, A. Fisahn, T. P. J. Knowles, S. Linse, A molecular chaperone breaks the catalytic cycle that generates toxic A β oligomers, *Nature Structural and Molecular Biology*, Vol. 22, No. 3, pp. 207-213, 2015.
- [13] I. E. Vainberg, S. A. Lewis, H. Rommelaeire, C. Ampe, J. Vandekerckhove, H. L. Klein, N. J. Cowan, Prefoldin, a chaperone that delivers unfolded proteins to cytosolic chaperonin, *Cell*, Vol. 93, No. 5, pp. 863-873, 1998.
- [14] A. Ohtaki, H. Kida, Y. Miyata, N. Ide, A. Yonezawa, T. Arakawa, R. Iizuka, K. Noguchi, A. Kita, M. Odaka, K. Miki, M. Yohda, Structure and molecular dynamics simulation of archaeal Prefoldin: the molecular mechanism for binding and recognition of nonnative substrate proteins, *Journal of Molecular Biology*, Vol. 376, No. 4, pp. 1130-1141, 2008.
- [15] M. Sakono, T. Zako, H. Ueda, M. Yohda, M. Maeda, Formation of highly toxic soluble amyloid beta oligomers by the molecular chaperone prefoldin, *FEBS Journal*, Vol. 275, No. 23, pp. 5982-5993, 2008.
- [16] A. Shokuhfar, A. Ghaffari, R. H. Ghasemi, Cavity control of Prefoldin nano actuator (PNA) by temperature and pH, *Nano-Micro Letters*, Vol. 4, No. 2, pp. 110-117, 2012.
- [17] B. Barz, B. Urbanc, Dimer formation enhances structural differences between amyloid β -protein (1-40) and (1-42): an explicit-solvent molecular dynamics study, *PLoS One*, Vol. 7, No. 4, pp. 1-17, 2012.
- [18] T. Lührs, C. Ritter, M. Adrian, D. Riek-Lohr, B. Bohrmann, H. Dobeli, D. Schubert, R. Riek, 3D structure of Alzheimer's amyloid (1-42) fibrils, *Proceedings of the National Academy of Sciences*, Vol. 102, No. 48, pp. 17342-17347, 2005.
- [19] J. D. Pham, R. K. Spencer, K. H. Chen, J. S. Nowick, A fibril-like assembly of oligomers of a peptide derived from β -amyloid, *Journal of American Chemical Society*, Vol. 136, No. 36, pp. 12682-12690, 2014.
- [20] W.-J. Du, J.-J. Guo, M.-T. Gao, S.-Q. Hu, X.-Y. Dong, Y.-F. Han, F.-F. Liu, S. Jiang, Y. Sun, Brazilian inhibits amyloid β -protein fibrillogenesis, remodels amyloid fibrils and reduces amyloid cytotoxicity, *Scientific Reports*, Vol. 5, No. 1, pp. 1-10, 2015.
- [21] A. H. C. Horn, H. Sticht, Amyloid- β 42 oligomer structures from fibrils: a systematic molecular dynamics study, *Journal of Physical Chemistry B*, Vol. 114, No. 6, pp. 2219-2226, 2010.

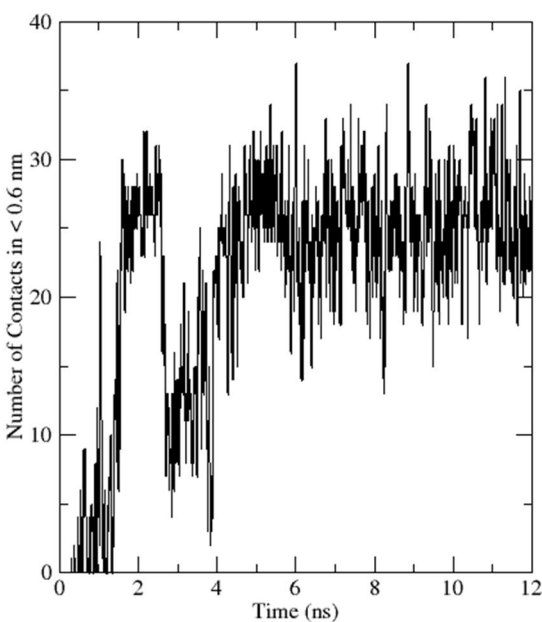


Fig. 7 The number of contacts between two atoms of cargo and actuator in the distance of less than 0.6 nm as function of simulation time

شکل 7 تعداد تماس‌ها بین جفت اتم‌های محموله و عملگر در فاصله کمتر از 0.6 nm بهصورت تابعی از زمان شبیه‌سازی

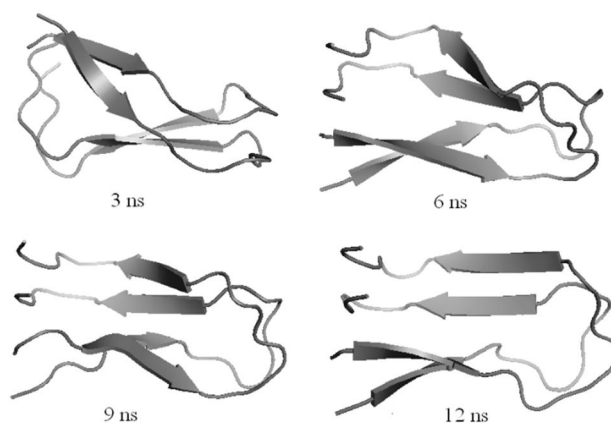


Fig. 8 Conformational changes of dimeric pathogenetic nano cargo in the various time of simulation

شکل 8 تغییرات پیکربندی محموله بیماری‌زا دیمر در زمان‌های مختلف شبیه‌سازی

5- منابع

- [1] J. Hardy, A hundred years of Alzheimer's disease research, *Neuron*, Vol. 52, No. 1, pp. 3-13, 2006.
- [2] C. Tinker-Mill, J. Mayes, D. Allsop, O. V. Kolosov, Ultrasonic force